

Identités fonctionnelles hyperlogarithmiques et tissus en coniques sur les surfaces de Del Pezzo

Luc PIRIO

10 novembre 2022

Plan

I Introduction

Logarithme, polylogarithmes : identités fonctionnelles, etc

Surfaces recouvertes par des coniques : cylides, etc

II Tissus en coniques sur les dP_d

Surfaces de Del Pezzo

Tissus, tissus \mathcal{W}_{dP_d}

III Hyperlogarithmes

Définition, propriétés, identités fonctionnelles

IV Identité Hlog_r sur dP_d

V Tissus \mathcal{W}_{dP_5} et \mathcal{W}_{dP_4}

Le logarithme

- $\mathbf{L}_0(z) = \text{Log}(z)$
- Représentations intégrales : $\mathbf{L}_0(z) = \int^z \frac{du}{u}$
 $-\text{Log}(1 - z) = \mathbf{L}_1(z) = \int^z \frac{du}{1-u}$
- Développement en série : $\mathbf{L}_1(z) = \sum_{k=1}^{\infty} \frac{z^k}{k}$
- Monodromie : $\mathcal{M}_0(\mathbf{L}_0) = \mathbf{L}_0 + 2i\pi$
- Identité fonctionnelle : $\text{Log}(\textcolor{red}{x}) - \text{Log}(\textcolor{red}{y}) - \text{Log}(\textcolor{red}{x}/\textcolor{red}{y}) = 0$

“indoles logarithmorum hac aequatione fundamentali continetur”
(Pfaff 1788)

Le dilogarithme \mathbf{Li}_2

- $\mathbf{Li}_2(z) = \sum_{k=1}^{\infty} \frac{z^k}{k^2}$
- **Représentation intégrale :** $\mathbf{Li}_2(z) = \mathbf{L}_{01}(z) = \int^z -\log(1-u) \frac{du}{u}$
 $\mathbf{L}_{10}(z) = \int^z \log(u) \frac{du}{1-u}$
- **Monodromie :** $\mathcal{M}_1(\mathbf{Li}_2) = \mathbf{Li}_2 - 2i\pi \cdot \mathbf{L}_0$
- **Identité fonctionnelle d'Abel (Ab)** $(0 < x < y < 1)$
$$\mathbf{Li}_2(\textcolor{red}{x}) - \mathbf{Li}_2(\textcolor{red}{y}) - \mathbf{Li}_2\left(\frac{x}{y}\right) - \mathbf{Li}_2\left(\frac{1-y}{1-x}\right) + \mathbf{Li}_2\left(\frac{x(1-y)}{y(1-x)}\right) = -\frac{\pi^2}{6} + \text{Log}(y) \text{Log}\left(\frac{1-y}{1-x}\right)$$

Le dilogarithme \mathbf{Li}_2

- $\mathbf{Li}_2(z) = \sum_{k=1}^{\infty} \frac{z^k}{k^2}$
- **Représentation intégrale :** $\mathbf{Li}_2(z) = \mathbf{L}_{01}(z) = \int^z -\log(1-u) \frac{du}{u}$
 $\mathbf{L}_{10}(z) = \int^z \log(u) \frac{du}{1-u}$
- **Monodromie :** $\mathcal{M}_1(\mathbf{Li}_2) = \mathbf{Li}_2 - 2i\pi \cdot \mathbf{L}_0$
- **Identité fonctionnelle d'Abel (Ab)** $(0 < x < y < 1)$

$$\mathbf{R}(\textcolor{red}{x}) - \mathbf{R}(\textcolor{red}{y}) - \mathbf{R}\left(\frac{x}{y}\right) - \mathbf{R}\left(\frac{1-y}{1-x}\right) + \mathbf{R}\left(\frac{x(1-y)}{y(1-x)}\right) = \textcolor{green}{0}$$

$$\mathbf{R}(x) = \frac{1}{2} \left(\mathbf{L}_{01}(x) - \mathbf{L}_{10}(x) \right) = \mathbf{Li}_2(x) + \frac{1}{2} \operatorname{Log}(x) \operatorname{Log}(1-x) - \frac{\pi^2}{6}$$

Les polylogarithmes \mathbf{Li}_n ($n \geq 1$)

- $\mathbf{Li}_n(z) = \sum_{k=1}^{\infty} \frac{z^k}{k^n}$
- **Représentation intégrale :** $\mathbf{Li}_n(z) = \int^z \mathbf{Li}_{n-1}(u) \frac{du}{u} = \mathbf{L}_{0^{n-1}1}(z)$
 $\mathbf{Li}_n'(z) = \mathbf{Li}_{n-1}(z)/z$
- **Monodromie :** $\mathcal{M}_1(\mathbf{Li}_n) = \mathbf{Li}_n - 2i\pi \frac{(\mathbf{L}_0)^{n-1}}{(n-1)!}$
- **Identités fonctionnelles en une variable :**
$$\mathbf{Li}_n(z^r) = r^{n-1} \sum_{\omega^r=1} \mathbf{Li}_n(\omega z) \quad (|z| < 1)$$
$$\mathbf{Li}_n(z) + (-1)^n \mathbf{Li}_n(z^{-1}) = -\frac{(2i\pi)^n}{n!} \mathbf{B}_n\left(\frac{\log z}{2i\pi}\right) \quad (z \in \mathbb{C} \setminus [0, +\infty[)$$

Les polylogarithmes \mathbf{Li}_n ($n \geq 1$)

- $\mathbf{Li}_n(z) = \sum_{k=1}^{\infty} \frac{z^k}{k^n}$
- **Représentation intégrale :** $\mathbf{Li}_n(z) = \int^z \mathbf{Li}_{n-1}(u) \frac{du}{u} = \mathbf{L}_{0^{n-1}1}(z)$
 $\mathbf{Li}_n'(z) = \mathbf{Li}_{n-1}(z)/z$
- **Monodromie :** $\mathcal{M}_1(\mathbf{Li}_n) = \mathbf{Li}_n - 2i\pi \frac{(\mathbf{L}_0)^{n-1}}{(n-1)!}$
- **Identités fonctionnelles en plusieurs variables ($\exists?$) :**
$$\sum_{i \in I} c_i \mathbf{Li}_n(\textcolor{red}{U}_i) = \textcolor{green}{\mathbf{Elem}_{< n}}$$
$$\left(I \text{ fini}, c_i \in \mathbb{Z}, \textcolor{red}{U}_i \in \mathbb{Q}(x, y) \right)$$

Les polylogarithmes \mathbf{Li}_n ($n \geq 1$)

- $\mathbf{Li}_n(z) = \sum_{k=1}^{\infty} \frac{z^k}{k^n}$
- **Représentation intégrale :** $\mathbf{Li}_n(z) = \int^z \mathbf{Li}_{n-1}(u) \frac{du}{u} = \mathbf{L}_{0^{n-1}1}(z)$
 $\mathbf{Li}_n'(z) = \mathbf{Li}_{n-1}(z)/z$
- **Monodromie :** $\mathcal{M}_1(\mathbf{Li}_n) = \mathbf{Li}_n - 2i\pi \frac{(\mathbf{L}_0)^{n-1}}{(n-1)!}$
- **Identités fonctionnelles en plusieurs variables ($\exists?$) :**

$$\sum_{i \in I} c_i \mathbf{Li}_n(\textcolor{red}{U}_i) = \textcolor{green}{\mathbf{Elem}_{< n}} \iff \sum_{i \in I} c_i \mathcal{L}_n(\textcolor{red}{U}_i) = \mathbf{0}$$

$$\left(I \text{ fini}, c_i \in \mathbb{Z}, \textcolor{red}{U}_i \in \mathbb{Q}(x, y) \right)$$

Exemple : Li_3

- $\text{Li}_3(z) = \sum_{k=1}^{\infty} z^k / k^3 = \int^z \text{Li}_2(u) \frac{du}{u}$

- Identité de Spence-Kummer (1809-1840) :

$$\begin{aligned} & 2\text{Li}_3(x) + 2\text{Li}_3(y) - \text{Li}_3\left(\frac{x}{y}\right) + 2\text{Li}_3\left(\frac{1-x}{1-y}\right) + 2\text{Li}_3\left(\frac{x(1-y)}{y(1-x)}\right) - \text{Li}_3(xy) \\ & + 2\text{Li}_3\left(-\frac{x(1-y)}{(1-x)}\right) + 2\text{Li}_3\left(-\frac{(1-y)}{y(1-x)}\right) - \text{Li}_3\left(\frac{x(1-y)^2}{y(1-x)^2}\right) \\ & = 2\text{Li}_3(1) - \text{Log}(y)^2 \text{Log}\left(\frac{1-y}{1-x}\right) + \frac{\pi^2}{3} \text{Log}(y) + \frac{1}{3} \text{Log}(y)^3 \end{aligned}$$

Exemple : Li_3

- $\text{Li}_3(z) = \sum_{k=1}^{\infty} z^k / k^3 = \int^z \text{Li}_2(u) \frac{du}{u}$

- Identité de Spence-Kummer (1809-1840) :

$$\begin{aligned} & 2\text{Li}_3(x) + 2\text{Li}_3(y) - \text{Li}_3\left(\frac{x}{y}\right) + 2\text{Li}_3\left(\frac{1-x}{1-y}\right) + 2\text{Li}_3\left(\frac{x(1-y)}{y(1-x)}\right) - \text{Li}_3(xy) \\ & + 2\text{Li}_3\left(-\frac{x(1-y)}{(1-x)}\right) + 2\text{Li}_3\left(-\frac{(1-y)}{y(1-x)}\right) - \text{Li}_3\left(\frac{x(1-y)^2}{y(1-x)^2}\right) \\ & = 2\text{Li}_3(1) - \text{Log}(y)^2 \text{Log}\left(\frac{1-y}{1-x}\right) + \frac{\pi^2}{3} \text{Log}(y) + \frac{1}{3} \text{Log}(y)^3 \end{aligned}$$

$$\begin{aligned} & 2\mathcal{L}_3(x) + 2\mathcal{L}_3(y) - \mathcal{L}_3\left(\frac{x}{y}\right) + 2\mathcal{L}_3\left(\frac{1-x}{1-y}\right) + 2\mathcal{L}_3\left(\frac{x(1-y)}{y(1-x)}\right) - \mathcal{L}_3(xy) \\ & + 2\mathcal{L}_3\left(-\frac{x(1-y)}{(1-x)}\right) + 2\mathcal{L}_3\left(-\frac{(1-y)}{y(1-x)}\right) - \mathcal{L}_3\left(\frac{x(1-y)^2}{y(1-x)^2}\right) = 0 \end{aligned}$$

$$\mathcal{L}_3(z) = \text{Li}_3(z) - \text{Li}_2(z) \text{Log}|x| + \frac{1}{3} \text{Li}_1(z) (\text{Log}|x|)^2$$

Exemple : Li_4

- $\text{Li}_4(x) = \sum_{k=1}^{\infty} x^k / k^4 \quad \mathcal{L}_4(x) = \text{Li}_4(x) + \text{Elem}_{<4}(x)$

- Identité fonctionnelle de Kummer (1840) :

$$\begin{aligned}
& \mathcal{L}_4\left(-\frac{x^2y\eta}{\zeta}\right) + \mathcal{L}_4\left(-\frac{y^2x\zeta}{\eta}\right) + \mathcal{L}_4\left(\frac{x^2y}{\eta^2\zeta}\right) + \mathcal{L}_4\left(\frac{y^2x}{\zeta^2\eta}\right) \\
& - 6 \mathcal{L}_4\left(xy\right) - 6 \mathcal{L}_4\left(\frac{xy}{\eta\zeta}\right) - 6 \mathcal{L}_4\left(-\frac{xy}{\eta}\right) - 6 \mathcal{L}_4\left(-\frac{xy}{\zeta}\right) \\
& - 3 \mathcal{L}_4\left(x\eta\right) - 3 \mathcal{L}_4\left(y\zeta\right) - 3 \mathcal{L}_4\left(\frac{x}{\eta}\right) - 3 \mathcal{L}_4\left(\frac{y}{\zeta}\right) \\
& - 3 \mathcal{L}_4\left(-\frac{x\eta}{\zeta}\right) - 3 \mathcal{L}_4\left(-\frac{y\zeta}{\eta}\right) - 3 \mathcal{L}_4\left(-\frac{x}{\eta\zeta}\right) - 3 \mathcal{L}_4\left(-\frac{y}{\eta\zeta}\right) \\
& + 6 \mathcal{L}_4(x) + 6 \mathcal{L}_4(y) + 6 \mathcal{L}_4\left(-\frac{x}{\zeta}\right) + 6 \mathcal{L}_4\left(-\frac{y}{\eta}\right) = \mathbf{0}
\end{aligned}$$

$$(\zeta = 1-x, \eta = 1-y)$$

- Abel 1881 (Spence 1809, Hill 1829, Rogers 1907)

$$R(x) - R(y) - R\left(\frac{x}{y}\right) - R\left(\frac{1-y}{1-x}\right) + R\left(\frac{x(1-y)}{y(1-x)}\right) = 0 \quad (\mathcal{Ab})$$

- Spence-Kummer : $\sum_{i=1}^9 c_i \mathcal{L}_3(U_i(x, y)) = 0 \quad (\mathcal{SK})$

- Kummer 1840 : $\sum_i c_i \mathcal{L}_n(U_i(x, y)) = 0 \quad (n \leq 5) \quad (\mathcal{K}_n)$

- ...

- Goncharov 1995 : $\sum_{i=1}^{22} c_i \mathcal{L}_3(U_i(a, b, c)) = 0 \quad (\mathcal{Gon})$

- Gangl 2003 : $\sum_i c_i \mathcal{L}_n(U_i(x, y)) = 0 \quad (n = 6, 7) \quad (\mathcal{Gan}_n)$

- Charlton, Gangl, Radchenko, Rudenko, ...

- **Identités Fonctionnelles (IF) des polylogarithmes :**

- ▶ Géométrie hyperbolique
- ▶ Géométrie des tissus
- ▶ K-théorie des corps de nombres $(n \leq 4)$
- ▶ Théorie des motifs
- ▶ Théorie des périodes (VZM)
- ▶ Ψ des particules ("Scattering amplitudes")
- ▶ Y -systèmes et algèbres amassées $(n = 2)$
- ▶ Symétrie miroir ("à la GHK") $(n = 2)$

- **Problèmes :**
 - construire des **IF** pour les \mathcal{L}_n ($\exists n \geq 8 ?$)
 - mieux comprendre les **IF** polylogarithmiques

Problématique

- $\mathbf{Ab}(x, y) = \mathbf{R}(x) - \mathbf{R}(y) - \mathbf{R}\left(\frac{x}{y}\right) - \mathbf{R}\left(\frac{1-y}{1-x}\right) + \mathbf{R}\left(\frac{x(1-y)}{y(1-x)}\right) \equiv 0$

Thm [de Jeu] : Pour I fini, $c_i \in \mathbf{Q}$ et $U_i \in \mathbf{Q}[x_1, \dots, x_m]$ ($\forall i \in I$)

$\sum_{i \in I} c_i \mathcal{L}_2(U_i)$ est une CL
 $\sum_{i \in I} c_i \mathcal{L}_2(U_i) \equiv \text{cst}$ \iff de special^o de $\mathbf{Ab}(X_s, Y_s)$
avec $X_s, Y_s \in \mathbf{Q}[x_1, \dots, x_M]$

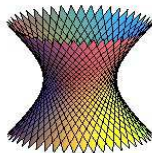
- ($\mathbf{Log}(x) - \mathbf{Log}(y) - \mathbf{Log}(x/y) = 0$) est l'IF fondamentale du log
- $(\mathbf{Ab}) \Leftrightarrow (\mathbf{Ab}(x, y) \equiv 0)$ est l'IF fondamentale du dilog
- Pbm - Pour $n \geq 3$, \exists IF fondamentale $\mathbf{IFF}(\mathbf{Li}_n)$ du n -ième polylog ?
 - Si oui, les $\mathbf{IFF}(\mathbf{Li}_n)$ viennent-elles en série ?

Surfaces avec des familles de “courbes simples”

- [Wren 1669] “Generatio corporis cylindroidis hyperbolici ...”

L'hyperboloïde à une nappe

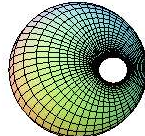
$$\frac{x^2}{a^2} + \frac{y^2}{b^2} - \frac{z^2}{c^2} = 1 \text{ est 2-reglée}$$



- [Dupin 1802] “Applications de géométrie et de mécanique, à la Marine, aux Ponts et Chaussées, etc.” (1822)

Découverte des cyclides :

surfaces $S \subset \mathbb{E}^3$ dont les lignes de courbure sont des cercles

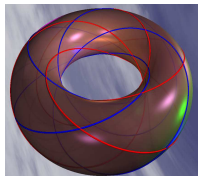
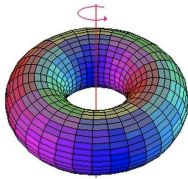


- [Liouville, Thomson, ...] : *Une cyclide de Dupin s'obtient comme inversion d'un tore par rapport à une sphère*

Surfaces avec des familles de “courbes simples”

- [Villarceau 1848]

Un tore $T \subset \mathbb{E}^3$ porte quatre familles de cercles inclus dedans (“Cercles de Villarceau”)



- \implies Par un point générique d'une cyclide $S \subset \mathbb{E}^3$ passe au moins quatre cercles inclus dans S
- [Cayley-Salmon 1849] Il y a 27 droites dans une surface cubique !
 - \implies Une surface cubique est recouverte par 27 familles de coniques contenues dedans
- [Kummer 1863, Moutard 1864, Darboux 1864, etc]
 - \implies familles de coniques sur les cyclides !

Cyclides

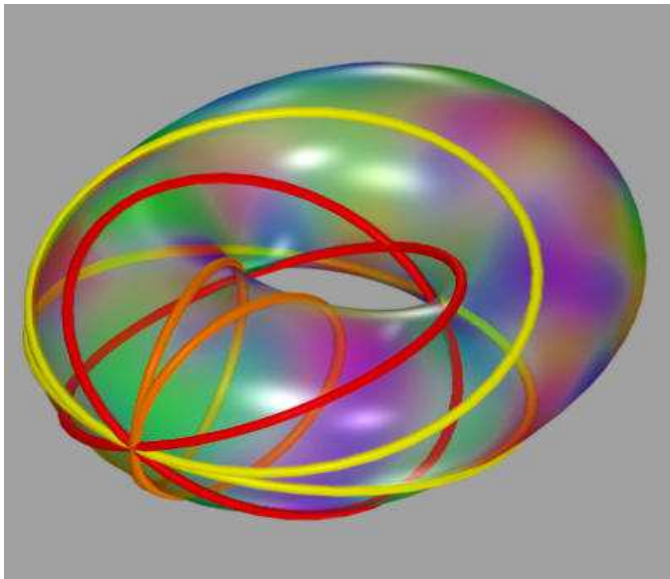
- **Kummer** : surface quartique dans \mathbf{P}^3 avec une conique de points doubles dans le plan à l'infini
- **Darboux** : surface quartique dans \mathbb{E}^3 avec un cercle de points doubles “à l'infini” (“Cyclides de Darboux”)
- **Dupin** : surface quartique dans \mathbb{E}^3 avec 4 points doubles “à l'infini”

Thm

- Une cyclide est recouverte par $N \leq 10$ familles de coniques
- [Blum 1980] Une cyclide de Darboux est recouverte par 4,5 ou 6 familles de coniques

- **Cyclides** : de Dupin à... maintenant !
(En géométrie, architecture, CAGD/Visualisation, etc)

Une cyclide de Blum



Des cyclides aux surfaces de Del Pezzo

- Soit $\mathcal{C} \subset \mathbf{P}^3$ une surface cyclide quartique
- [Clebsch 1868 (Darboux 1871)] “Représentation de \mathcal{C} dans le plan” (via un système linéaire de cubiques avec 5 points bases)
- [Segre, Veronese 1884] $\mathcal{C} \subset \mathbf{P}^3$ est l'image de l'intersection de deux quadriques $Q_1, Q_2 \subset \mathbf{P}^4$ par une projection de centre $p \in \mathbf{P}^4$:

$$\mathcal{C} = \pi_p(\mathcal{C}') \quad \text{avec} \quad \mathcal{C}' = Q_1 \cap Q_2 \subset \mathbf{P}^4$$

- [Del Pezzo 1887] Pour $r \leq 8$ points p_1, \dots, p_r en PG dans \mathbf{P}^2

$$\mathbf{d}\mathbf{P}_d = \mathbf{Im} \left(\varphi_{|3H - \sum_{i=1}^r p_i|} : \mathbf{P}^2 \dashrightarrow \mathbf{P}^d \right) \quad (\textcolor{green}{d} = 9 - \textcolor{red}{r})$$

Surfaces de Del Pezzo I : propriétés

- $\mathbf{dP}_d \subset \mathbf{P}^d$ surface lisse de degré d ($d = 9 - r$)
- $\mathbf{dP}_d \simeq \mathrm{Bl}_{p_1+\dots+p_r}(\mathbf{P}^2)$, $\mathrm{Pic}(\mathbf{dP}_d) = \mathbf{Z} \mathbf{h} \oplus (\bigoplus_{i=1}^r \mathbf{Z} \ell_i) \simeq \mathbf{Z}^{r+1}$
- $-K_{\mathbf{dP}_d} = 3\mathbf{h} - \sum_{i=1}^r \ell_i$ très ample $\rightsquigarrow \varphi_{|-K|} : \mathbf{dP}_d \longrightarrow \mathbf{P}^d$ plong^t
- $\mathrm{Pic}(\mathbf{dP}_d) \supset K^\perp = \langle \rho_1, \dots, \rho_r \rangle$ $\rho_i = \ell_i - \ell_{i+1}$ $i = 1, \dots, r-1$
et $\rho_r = 3\mathbf{h} - \sum_{i=1}^3 \ell_i$
- $-(\cdot, \cdot) + \{\rho_i\}_{i=1}^r \rightsquigarrow$ système de racines $R_r = K^\perp \otimes \mathbf{R}$ de type E_r
- Pour toute racine ρ : $s_\rho : R_r \rightarrow R_r$ (reflection)
 $d \mapsto d + (d, \rho)\rho$
- $W_r = \langle s_{\rho_1}, \dots, s_{\rho_r} \rangle \subset O(R_r)$: groupe de Weyl de type E_r

Surfaces de Del Pezzo III

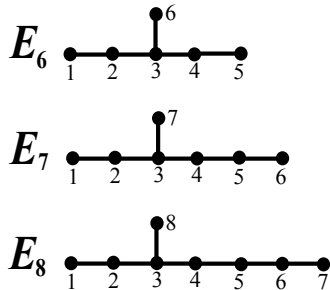
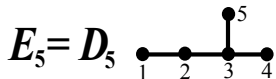
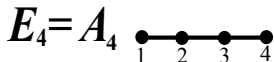


FIGURE – Diagramme de Dynkin E_r (où k dénote ρ_k pour $k = 1, \dots, r$)

Surfaces de Del Pezzo II : droites et coniques

- $X_r = \mathbf{dP}_d$ ($d = 9 - r$)

- Droites $\mathcal{L}_r = \left\{ d \in \mathbf{Pic}(X_r) \mid (d, -K) = 1, d^2 = -1 \right\}$

$$\mathcal{L}_r \ni \delta \rightsquigarrow \mathbf{P}^1 \simeq \delta \subset X_r$$

$$\begin{aligned} \mathcal{L}_r &= \mathbf{W}_r \cdot (\ell_1) & \mathbf{W}'_{r-1} &= \text{Stab}(\ell_1) = \langle s_{\rho_1}, \dots, s_{\rho_{r-1}} \rangle \\ &&&= W(E'_{r-1}) \quad (\text{groupe de Weyl}) \end{aligned}$$

- Cloniques $\mathcal{K}_r = \left\{ \mathfrak{c} \in \mathbf{Pic}(X_r) \mid (\mathfrak{c}, -K) = 2, \mathfrak{c}^2 = 0 \right\}$

$$\mathcal{K}_r \ni \mathfrak{c} \rightsquigarrow \text{Fibration en coniques } \varphi_{\mathfrak{c}} : X_r \rightarrow \mathbf{P}^1$$

$$\begin{aligned} \mathcal{K}_r &= \mathbf{W}_r \cdot (\mathbf{h} - \ell_1) & \mathbf{W}''_{r-1} &= \text{Stab}(\mathbf{h} - \ell_1) = \langle s_{\rho_2}, \dots, s_{\rho_r} \rangle \\ &&&= W(E''_{r-1}) \quad (\text{groupe de Weyl}) \end{aligned}$$

Surfaces de Del Pezzo III

r	4	5	6	7	8
E_r	A_4	D_5	E_6	E_7	E_8
E'_{r-1}	A_3	A_4	A_5	A_6	A_7
E''_{r-1}	A_3	D_4	D_5	D_6	D_7
$W_r = W(E_r)$	\mathfrak{S}_5	$(\mathbf{Z}/2\mathbf{Z})^4 \ltimes \mathfrak{S}_5$	$W(E_6)$	$W(E_7)$	$W(E_8)$
$\omega_r = W_r $	$5!$	$2^4 \cdot 5!$	$2^7 \cdot 3^4 \cdot 5$	$2^{10} \cdot 3^4 \cdot 5 \cdot 7$	
$l_r = \mathcal{L}_r = W_r / W_{r-1} $	10	16	27	56	240
$\kappa_r = \mathcal{K}_r = W_r / W''_{r-1} $	5	10	27	126	2056

Exemple : droites sur $d\mathbf{P}_2$

- $X_7 = d\mathbf{P}_2 = \mathbf{Bl}_{p_1+\dots+p_7}(\mathbf{P}^2) \xrightarrow{\beta} \mathbf{P}^2$
- $\ell_i = \beta^{-1}(p_i) \subset X_7 \rightsquigarrow \ell_i \in \mathbf{Pic}(X_7)$
 $\rightsquigarrow \ell = \sum_{i=1}^7 \ell_i$

Line	Class in $\mathbf{Pic}(X_7)$	Number of such lines	Model in \mathbf{P}^2
ℓ_i	ℓ_i	7	first infinitesimal neighbourhood $p_i^{(1)}$
ℓ_{ij}	$h - \ell_i - \ell_j$	21	line joining p_i to p_j
C_{ij}	$2h - \ell + \ell_i + \ell_j$	21	conic through the p_k 's, $k \notin \{i, j\}$
C_i^3	$3h - \ell - \ell_i$	7	cubic through all the p_l 's with a node at p_i

TABLE 2. Lines on $d\mathbf{P}_2$ and the corresponding ‘curves’ in the projective plane

Exemple : cloniques sur dP_2

Conic class \mathfrak{c}	Number of such \mathfrak{c}	Linear system $ \mathfrak{C}_{\mathfrak{c}} $	$\mathfrak{C}_{\mathfrak{c}}^{\text{red}}$
$h - \ell_i$	7	lines through p_i	$\ell_{ij} + \ell_j$
$2h - \sum_{i \in I} \ell_i$	35	conics through the p_i 's, $i \in I$	$\ell_{i_1 i_2} + \ell_{i_3 i_4}$ $\ell_{i_3} + C_{i_1 i_2}$
$3h - \ell + \ell_i - \ell_j$	42	cubics through the p_k 's for $k \neq i$, with a node at p_j	$\ell_{jk} + C_{ik}$ $\ell_i + C_j^3$
$4h - \ell - \sum_{j \in J} \ell_j$	35	quartics through the p_k 's with a node at p_j for $j \in J$	$C_{k_1 k_2} + C_{k_3 k_4}$ $\ell_{j_1 j_2} + C_{j_3}^3$
$5h - 2\ell + \ell_i$	7	quintics through the p_k 's with a node at p_k except for $k = i$	$C_{ij} + C_j^3$

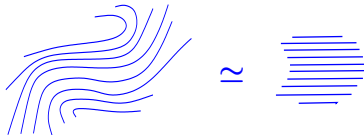
TABLE 3. Conic classes on dP_2 and their reducible fibers

Surfaces de Del Pezzo : coniques singulières

- $L_r = \cup_{\ell \in \mathcal{L}_r} \ell \subset X_r \quad \rightsquigarrow \quad Y_r = X_r \setminus L_r$
- $\mathcal{K}_r \ni \mathfrak{c} \quad \rightsquigarrow \quad$ Fibration en coniques $\varphi_{\mathfrak{c}} : X_r \rightarrow \mathbf{P}^1$
- $\Sigma_{\mathfrak{c}} = \mathbf{Spectre}(\varphi_{\mathfrak{c}}) = \{ \lambda \in \mathbf{P}^1 \mid \varphi_{\mathfrak{c}}^{-1}(\lambda) \text{ pas irréductible} \} \subset \mathbf{P}^1$
$$= \{ \sigma_{\mathfrak{c},1}, \dots, \sigma_{\mathfrak{c},r-1} \} \quad (\sigma_{\mathfrak{c},r-1} = \infty)$$
- Pour tout $\sigma_{\mathfrak{c},i}$: $\varphi_{\mathfrak{c}}^{-1}(\sigma_{\mathfrak{c},i}) = L'_{\mathfrak{c},i} + L''_{\mathfrak{c},i} \quad L'_{\mathfrak{c},i}, L''_{\mathfrak{c},i} \in \mathcal{L}_r$
- $\mathbf{H}_{\mathfrak{c}} = \mathbf{H}^0\left(\mathbf{P}^1, \Omega_{\mathbf{P}^1}^1(\log \Sigma_{\mathfrak{c}})\right) = \left\langle \frac{dz}{z - \sigma_{\mathfrak{c},i}} \mid i = 1, \dots, r-2 \right\rangle$
- $\mathcal{H}_{\mathfrak{c}} = \varphi_{\mathfrak{c}}^*(\mathbf{H}_{\mathfrak{c}}) = \left\langle \frac{d\varphi_{\mathfrak{c}}}{\varphi_{\mathfrak{c}} - \sigma_{\mathfrak{c},i}} \right\rangle \subset \mathbf{H}^0\left(X_r, \Omega_{X_r}^1(\log L_r)\right)$
- $\mathcal{W}_{\mathbf{d}\mathbf{P}_d} = \mathcal{W}(\varphi_{\mathfrak{c}})_{\mathfrak{c} \in \mathcal{K}_r} \quad \kappa_r\text{-tissu sur } Y_r$

Tissus I

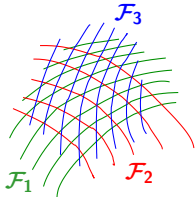
- Feuilletage :** famille
• localement triviale
de sous-variétés



- Un **d-tissu** est une collection de d feuilletages 2 à 2 transverses

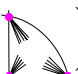
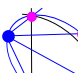
$$\mathcal{W}_d = (\mathcal{F}_1, \mathcal{F}_2, \dots, \mathcal{F}_d)$$

- Ex. 1 un 3-tissu plan



- 2 $\mathcal{W}_{\mathbf{dP}_d} = \mathcal{W}(\varphi_{\mathbf{c}} \mid \mathbf{c} \in \mathcal{K}_r)$: κ_r -tissu sur Y_r , en courbes rationnelles

Tissus II

- $\bullet \quad \mathbb{P}^2 \supset C \text{ courbe}$ $\rightsquigarrow \mathcal{W}_C = \mathcal{W}(P_1, \dots, P_d)$ d -tissu sur $\check{\mathbb{P}}^2$
 $\text{alg, deg } C = d$
- $\bullet \quad \mathbf{H}^0(\omega_C^1) \ni \omega \rightsquigarrow \left(\int^{P_1} \omega, \dots, \int^{P_d} \omega \right) \text{ tq } \sum_{i=1}^d \int^{P_i} \omega = 0$
- $\bullet \quad \mathcal{W}(U_i)_{i=1}^d \rightsquigarrow \left(F_1(U_1), \dots, F_d(U_d) \right) \text{ tq } \sum_{i=1}^d F_i(U_i) = 0$
- $\bullet \quad \mathcal{W}_{\mathbf{dP}_6} = \mathcal{W}\left(\begin{array}{c} * \\ \diagup \\ \diagdown \end{array}\right) = \mathcal{W}(x, y, \frac{x}{y}) \quad \text{Log}(x) - \text{Log}(y) - \text{Log}(\frac{x}{y}) = 0$

- $\bullet \quad \mathcal{W}_{\mathbf{dP}_5} = \mathcal{W}\left(\begin{array}{c} * \\ \diagup \\ \diagdown \end{array}\right) = \mathcal{W}(x, y, \frac{x}{y}, \frac{1-y}{1-x}, \frac{x(1-y)}{y(1-x)})$
 $\mathbf{R}(x) - \mathbf{R}(y) - \mathbf{R}\left(\frac{x}{y}\right) - \mathbf{R}\left(\frac{1-y}{1-x}\right) + \mathbf{R}\left(\frac{x(1-y)}{y(1-x)}\right) = 0$


Tissus de Del Pezzo

- $\mathcal{W}_{\mathbf{dP}_d} = \mathcal{W}(\varphi_{\mathfrak{c}})_{\mathfrak{c} \in \mathcal{K}_r}$: κ_r -tissu en coniques sur \mathbf{dP}_d
- Quest^o : $\exists \left(F_{\mathfrak{c}}(\varphi_{\mathfrak{c}}) \right)_{\mathfrak{c} \in \mathcal{K}_r}$ tel que $\sum_{\mathfrak{c} \in \mathcal{K}_r} F_{\mathfrak{c}}(\varphi_{\mathfrak{c}}) = 0$
avec les $F_{\mathfrak{c}}$ polylogarithmiques ?

Théorème : $\exists (\epsilon_{\mathfrak{c}})_{\mathfrak{c} \in \mathcal{K}_r} \in \{1, -1\}^{\mathcal{K}_r}$, \pm -unique tel que

$$(\mathbf{HLog}^{r-2}) \quad \sum_{\mathfrak{c} \in \mathcal{K}_r} \epsilon_{\mathfrak{c}} \mathbf{AI}_{\mathfrak{c}}^{r-2}(\varphi_{\mathfrak{c}}) = 0$$

où $\forall \mathfrak{c} : \mathbf{AI}_{\mathfrak{c}}^{r-2}$ = hyperlogarithme antisymétrique complet
de poids $r-2$ sur $\mathbf{P}^1 \setminus \Sigma_{\mathfrak{c}}$.

III Intégrales itérées

- Poincaré (1884), Lappo-Danilevski (1928)
- Y variété complexe
- $\mathcal{H} = \langle \omega_1, \dots, \omega_m \rangle \subset \mathbf{H}^0(Y, \Omega_Y^1) + \left[\begin{array}{l} d\omega_i = 0 \\ \omega_i \wedge \omega_j = 0 \end{array} \right]$
- Ex : $\varphi : Y \rightarrow C$ et $\omega_i \in \varphi^*(\mathbf{H}^0(C, \Omega_C^1))$ $i = 1, \dots, m$
- Point base $y \in Y$, chemin $\gamma^z : [0, 1] \rightarrow Y$ de y à z :
 - $\mathbb{I}_{\omega_i} : z \longmapsto \int_{\gamma^z} \omega_i \rightsquigarrow \mathbb{I}_{\omega_i} \in \mathcal{O}_y$
 - $\mathbb{I}_{\omega_j \omega_i} : z \longmapsto \int_{\gamma^z} \omega_j(u) \cdot \mathbb{I}_{\omega_i}(u) \rightsquigarrow \mathbb{I}_{\omega_j \omega_i} \in \mathcal{O}_y$
 - $\mathbb{I}_{\omega_k \omega_j \omega_i} : z \longmapsto \int_{\gamma^z} \omega_k(u) \cdot \mathbb{I}_{\omega_j \omega_i}(u) \rightsquigarrow \mathbb{I}_{\omega_k \omega_j \omega_i} \in \mathcal{O}_y$

III Intégrales itérées (polylogarithmes)

$$\Pi^w : \mathcal{H}^{\otimes w} \longrightarrow \mathcal{O}_y$$

- $\underline{\omega} = \omega_{i_1} \otimes \cdots \otimes \omega_{i_w} \longmapsto \mathbb{I}_{\underline{\omega}} : z \mapsto \int_{\gamma^z} \omega_{i_1}(u) \cdot \mathbb{I}_{\omega_{i_2} \dots \omega_{i_w}}(u)$
- $\Pi : \left(\bigoplus_{w \geq 0} \mathcal{H}^{\otimes w}, \sqcup \right) \longrightarrow \mathcal{O}_y$ morphisme injectif
de \mathbf{C} -algèbres
- $\forall \underline{\omega} : \begin{array}{l} \mathbb{I}_{\underline{\omega}} \in \mathcal{O}_y \cap \tilde{\mathcal{O}}(Y) \\ \text{monod. unipotente} \end{array} \implies \text{Symbole } \mathcal{S}(\mathbb{I}_{\underline{\omega}}) = \underline{\omega}$ ✓
- Ex : $Y = \mathbf{P}^1 \setminus \Sigma$ avec $\Sigma = \{0, 1, \infty\}$
$$\mathcal{H} = \left\langle \frac{dz}{z}, \frac{dz}{1-z} \right\rangle = \mathbf{H}^0 \left(\mathbf{P}^1, \Omega_{\mathbf{P}^1}^1(\text{Log } \Sigma) \right)$$
$$\mathbf{Li}_n = \Pi^n \left(\left(\frac{dz}{z} \right)^{\otimes(n-1)} \otimes \left(\frac{dz}{1-z} \right) \right) \quad (\text{“Polylogarithmes”})$$

III Intégrales itérées : hyperlogarithmes

- Ex : $Y = \mathbf{P}^1 \setminus \Sigma$ avec $\Sigma = \{\sigma_1, \dots, \sigma_{r-1}\}$ ($\sigma_{r-1} = \infty$)

$$\mathcal{H} = \left\langle \frac{dz}{z-\sigma_1}, \dots, \frac{dz}{z-\sigma_{r-2}} \right\rangle = \mathbf{H}^0\left(\mathbf{P}^1, \Omega_{\mathbf{P}^1}^1(\text{Log } \Sigma)\right)$$

$$\text{HL}_{\underline{\omega}}^n = \mathbf{II}^n\left(\left(\frac{dz}{z-\sigma_{i_1}}\right) \otimes \cdots \otimes \left(\frac{dz}{z-\sigma_{i_n}}\right)\right) \quad \text{“Hyperlogarithmes”}$$

- **Hyperlog antisymétrique complet de poids $r-2$ sur $\mathbf{P}^1 \setminus \Sigma$:**

$$\begin{aligned} \mathbf{AI}_{\Sigma}^{r-2} &= \mathbf{II}^n\left(\text{Asym}\left(\left(\frac{dz}{z-\sigma_1}\right) \otimes \cdots \otimes \left(\frac{dz}{z-\sigma_{r-2}}\right)\right)\right) \\ &= \mathbf{II}^n\left(\frac{1}{(r-2)!} \sum_{\nu \in \mathfrak{S}_{r-2}} \mathbf{s}(\nu) \left(\frac{dz}{z-\sigma_{\nu(1)}}\right) \otimes \cdots \otimes \left(\frac{dz}{z-\sigma_{\nu(r-2)}}\right)\right) \end{aligned}$$

- Ex : $\mathbf{AI}_{\{0,1,\infty\}}^2 = \frac{1}{2} \mathbf{II}^2\left(\frac{dz}{z} \otimes \frac{dz}{(1-z)} - \frac{dz}{(1-z)} \otimes \frac{dz}{z}\right) = \mathbf{R}$

IV Identité \mathbf{HLog}_r : preuve

$$(\mathbf{HLog}_r) : \sum_{\mathfrak{c} \in \mathcal{K}_r} \epsilon_{\mathfrak{c}} \mathbf{AI}_{\mathfrak{c}}^{r-2}(\varphi_{\mathfrak{c}}) = 0 \text{ avec } \mathbf{AI}_{\mathfrak{c}}^{r-2} = \mathbf{AI}_{\Sigma_{\mathfrak{c}}}^{r-2}$$

- $\varphi_{\mathfrak{c}} : X_r \rightarrow \mathbf{P}^1 \supset \Sigma_{\mathfrak{c}} = \{\sigma_{\mathfrak{c},i}\}_{i=1}^{r-1} \quad \mathbf{H}_{\mathfrak{c}} = \mathbf{H}^0\left(\Omega_{\mathbf{P}^1}^1(\text{Log} \Sigma_{\mathfrak{c}})\right)$
- $\mathcal{H}_{\mathfrak{c}} = \varphi_{\mathfrak{c}}^*(\mathbf{H}_{\mathfrak{c}}) \subset \mathbf{H}^0\left(\Omega_{X_r}^1(\text{Log} L_r)\right) = \mathcal{H}_{X_r}$
- $\mathbf{AI}_{\mathfrak{c}}^{r-2}(\varphi_{\mathfrak{c}}) = \mathbf{II}\left(\left(\frac{d\varphi_{\mathfrak{c}}}{\varphi_{\mathfrak{c}} - \sigma_{\mathfrak{c},1}}\right) \wedge \cdots \wedge \left(\frac{d\varphi_{\mathfrak{c}}}{\varphi_{\mathfrak{c}} - \sigma_{\mathfrak{c},r-2}}\right)\right) \in \mathbf{II}^{r-2}(\mathcal{H}_{\mathfrak{c}}^{\wedge(r-2)})$
- $\downarrow \mathcal{S}$
- $\Omega_{\mathfrak{c}}^{r-2} = \left(\frac{d\varphi_{\mathfrak{c}}}{\varphi_{\mathfrak{c}} - \sigma_{\mathfrak{c},1}}\right) \wedge \cdots \wedge \left(\frac{d\varphi_{\mathfrak{c}}}{\varphi_{\mathfrak{c}} - \sigma_{\mathfrak{c},r-2}}\right) \in \mathcal{H}_{\mathfrak{c}}^{\wedge(r-2)} \subset (\mathcal{H}_{X_r})^{\wedge(r-2)}$

$$(\mathbf{HLog}_r) \iff \sum_{\mathfrak{c}} \epsilon_{\mathfrak{c}} \Omega_{\mathfrak{c}}^{r-2} = 0 \quad \text{dans} \quad (\mathcal{H}_{X_r})^{\wedge(r-2)}$$

IV Identité \mathbf{HLog}_r : preuve

$$(\mathbf{HLog}_r) \iff \sum_{\mathfrak{c}} \epsilon_{\mathfrak{c}} \Omega_{\mathfrak{c}}^{r-2} = 0 \quad \text{dans} \quad (\mathcal{H}_{X_r})^{\wedge(r-2)}$$

- $\mathbf{H}^0\left(\Omega_{X_r}^1(\mathrm{Log} L_r)\right) = \mathcal{H}_{X_r} \xrightarrow{\oplus_{\ell} \mathrm{Res}_{\ell}} \mathbf{C}^{\mathcal{L}_r} \quad \text{injectif}$
 $\Omega_{\mathfrak{c}}^{r-2} \in (\mathcal{H}_{X_r})^{\wedge(r-2)} \hookrightarrow \wedge^{r-2} \mathbf{C}^{\mathcal{L}_r} \xleftarrow{\quad} W(E_r)\text{-rep}$
- $0 \rightarrow \mathbf{hlog}_r \rightarrow \bigoplus_{\mathfrak{c}} (\mathcal{H}_{\mathfrak{c}})^{\wedge(r-2)} \xrightarrow{\quad \text{?} \quad} \wedge^{r-2} \mathbf{C}^{\mathcal{L}_r} \quad \text{SE de } \mathbf{C}\text{-ev}$
 $\mathrm{Ind}_{W''_{r-1}}^{W_r}(\mathbf{sign}''_{r-1}) \rightarrow \wedge^{r-2} \mathbf{C}^{\mathcal{L}_r} \quad \text{SE de } W_r\text{-mod}$
- $\mathfrak{c}_0 \rightsquigarrow \Omega_{\mathfrak{c}_0}^{r-2} \rightsquigarrow W''_{r-1} = \mathrm{Stab}(\mathfrak{c}_0) \subset W_r = W(E_r)$

IV Identité HLog_r : preuve

- $\mathfrak{c}_0 \rightsquigarrow \Omega_{\mathfrak{c}_0}^{r-2} \rightsquigarrow W''_{r-1} = \text{Stab}(\mathfrak{c}_0) \subset W_r = W(E_r)$
- $W_r = \sqcup_{\mathfrak{c}} \gamma_{\mathfrak{c}_0}^{\mathfrak{c}} \cdot W''_{r-1} \rightsquigarrow \Omega_{\mathfrak{c}}^{r-2} = \mathbf{sign}(\gamma_{\mathfrak{c}_0}^{\mathfrak{c}}) (\gamma_{\mathfrak{c}_0}^{\mathfrak{c}} \bullet \Omega_{\mathfrak{c}_0}^{r-2})$
- Faits : 1. $\mathbf{C} \cdot \Omega_{\mathfrak{c}}^{r-2} = (\mathcal{H}_{\mathfrak{c}})^{\wedge(r-2)}$
2. $(\Omega_{\mathfrak{c}}^{r-2})_{\mathfrak{c}} \in \bigoplus_{\mathfrak{c}} (\mathcal{H}_{\mathfrak{c}})^{\wedge(r-2)}$ est W_r -stable
et engendre $\mathbf{sign}_r : W_r \rightarrow \{\pm 1\}$
- $\mathbf{sign}_r \hookrightarrow \bigoplus_{\mathfrak{c}} (\mathcal{H}_{\mathfrak{c}})^{\wedge(r-2)} \longrightarrow \wedge^{r-2} \mathbf{C}^{\mathcal{L}_r} \quad \text{SE de } W_r\text{-rep}$
 $1 \longmapsto (\Omega_{\mathfrak{c}}^{r-2})_{\mathfrak{c}} \longmapsto \sum_{\mathfrak{c}} \Omega_{\mathfrak{c}}^{r-2}$
- \mathbf{sign}_r n'apparaît
pas dans $\wedge^{r-2} \mathbf{C}^{\mathcal{L}_r} \implies$ on a $\sum_{\mathfrak{c}} \Omega_{\mathfrak{c}}^{r-2} = 0$

Preuve : fin

Proposition : 1. Pour $r = 4, \dots, 8$, on a les décompositions suivantes en $W(E_r)$ -modules irreductibles

$$A_4 \quad \mathbf{C}^{\mathcal{L}_4} = \mathbf{1} \oplus V_{[41]}^4 \oplus V_{[32]}^5$$

$$D_5 \quad \mathbf{C}^{\mathcal{L}_5} = \mathbf{1} \oplus V_{[4,1]}^5 \oplus V_{[3,2]}^{10}$$

$$E_6 \quad \mathbf{C}^{\mathcal{L}_6} = \mathbf{1} \oplus V^{6,1} \oplus V^{20,2}$$

$$E_7 \quad \mathbf{C}^{\mathcal{L}_7} = \mathbf{1} \oplus V^{7,1} \oplus V^{21,3} \oplus V^{27,2}$$

$$E_8 \quad \mathbf{C}^{\mathcal{L}_8} = \mathbf{1} \oplus V^{8,1} \oplus V^{35,2} \oplus V^{84,4} \oplus V^{112,3}$$

2. sign_r n'apparaît pas dans $\wedge^{r-2} \mathbf{C}^{\mathcal{L}_r} \iff r \leq 7$

Corollaire : Pour $r \leq 7$, on a $\sum_{\mathfrak{c}} \Omega_{\mathfrak{c}}^{r-2} = 0$ dans $\wedge^{r-2} \mathbf{C}^{\mathcal{L}_r}$

Extra : décompositions en $W(E_r)$ -irreps

- $\mathcal{L}_r = \{ \text{'droites' incluses dans } X_r \} \quad \mathcal{K}_r = \{ \text{"cloniques" de } X_r \}$
- $\mathbf{C}^{\mathcal{L}_r}, \mathbf{C}^{\mathcal{K}_r}$ sont des $W(E_r)$ -modules

$$\mathbf{A}_4 \quad \mathbf{C}^{\mathcal{L}_4} = \mathbf{1} \oplus V_{[41]}^4 \oplus V_{[32]}^5 \quad [\text{DFL}]$$

$$\mathbf{D}_5 \quad \mathbf{C}^{\mathcal{L}_5} = \mathbf{1} \oplus V_{[4,1]}^5 \oplus V_{[3,2]}^{10}$$

$$\mathbf{E}_6 \quad \mathbf{C}^{\mathcal{L}_6} = \mathbf{1} \oplus V^{6,1} \oplus V^{20,2}$$

$$\mathbf{E}_7 \quad \mathbf{C}^{\mathcal{L}_7} = \mathbf{1} \oplus V^{7,1} \oplus V^{21,3} \oplus V^{27,2}$$

$$\mathbf{E}_8 \quad \mathbf{C}^{\mathcal{L}_8} = \mathbf{1} \oplus V^{8,1} \oplus V^{35,2} \oplus V^{84,4} \oplus V^{112,3}$$

$$\mathbf{A}_4 \quad \mathbf{C}^{\mathcal{K}_4} = \mathbf{1} \oplus V_{[41]}^4$$

$$\mathbf{D}_5 \quad \mathbf{C}^{\mathcal{K}_5} = \mathbf{1} \oplus V_{[-,41]}^4 \oplus V_{[4,1]}^5$$

$$\mathbf{E}_6 \quad \mathbf{C}^{\mathcal{K}_6} = \mathbf{1} \oplus V^{6,1} \oplus V^{20,2}$$

$$\mathbf{E}_7 \quad \mathbf{C}^{\mathcal{K}_7} = \mathbf{1} \oplus V^{7,1} \oplus V^{27,2} \oplus V^{35,4} \oplus V^{56,3}$$

$$\mathbf{E}_8 \quad \mathbf{C}^{\mathcal{K}_8} = \mathbf{1} \oplus V^{8,1} \oplus V^{35,2} \oplus V^{50,8} \oplus V^{84,4} \oplus V^{112,3} \oplus V^{210,4} \oplus V^{400,7} \oplus V^{700,6}$$

V Tissu $\mathcal{W}_{\text{dP}_5} = \mathcal{B}$ = tissu de Bol

[N-Lin] \mathcal{B} n'est pas linéarisable

[Rang] \mathcal{B} est de rang maximal 6

- $\mathbf{AR}(\mathcal{B}) = \mathbf{AR}_{\text{Log}}(\mathcal{B}) \oplus \langle \mathbf{Ab} \rangle$
- \mathbf{Ab} engendre $\mathbf{AR}_{\text{Log}}(\mathcal{B})$ par résidu/monodromie

[Hexag] \mathcal{B} est hexagonal et cela le caractérise

[GM] 1. \mathcal{B} est le quotient du tissu \mathbf{H}_{A_4} -équiv $\mathcal{W}\left(\mathbf{G}_2(\mathbb{R}^5) \xrightarrow{\tilde{f}_i} \mathbf{G}_2(\mathbb{R}^4_i)\right)$
2. Construction cohomologico-géométrique de \mathbf{Ab}

[Clust] \mathcal{B} est équivalent au \mathcal{X} -tissu cluster de type A_2

$$\mathcal{B} \simeq \mathcal{X}\mathcal{W}_{A_2} = \mathcal{W}\left(x, y, \frac{1+x}{y}, \frac{1+y}{x}, \frac{1+x+y}{xy}\right)$$

V Tissu $\mathcal{W}_{\mathbf{dP}_4}$ sur $\mathbf{dP}_4 = \mathbf{Bl}_{p_1+\dots+p_5}(\mathbf{P}^2) \subset \mathbf{P}^4$

[N-Lin] $\mathcal{W}_{\mathbf{dP}_4}$ n'est pas linéarisable

[Rang] $\mathcal{W}_{\mathbf{dP}_4}$ est de rang maximal 36

- $\mathbf{AR}(\mathcal{W}_{\mathbf{dP}_4}) = \mathbf{AR}_{\mathbf{Log}}(\mathcal{W}_{\mathbf{dP}_4}) \oplus \mathbf{AR}_{\mathbf{Dilog}}(\mathcal{W}_{\mathbf{dP}_4}) \oplus \langle \mathbf{HLog}^3 \rangle$
- \mathbf{HLog}^3 engendre $\mathbf{AR}_{\mathbf{Dilog}}(\mathcal{W}_{\mathbf{dP}_4})$ par résidu/monodromie

[Hexag] $\mathcal{W}_{\mathbf{dP}_4}$ est caractérisé par le matroïde formé par ses sous-3-tissus hexagonaux

[GM]
1. $\mathcal{W}_{\mathbf{dP}_4}$ est le quotient du tissu \mathbf{H}_{D_5} -équiv $\mathcal{W}\left(\mathbb{S}_5 \xrightarrow{\varphi_i} \mathbb{S}_4(i)\right)$
2. Construction cohomologico-géométrique de \mathbf{HLog}^3 (?)

[Clust] $\mathcal{W}_{\mathbf{dP}_4}$ est un \mathcal{X} -tissu cluster de type D_4 ffff

Et après ?

- Applications — $\mathbf{HLog}^1 = \left(\log(x) - \log(y) - \log\left(\frac{x}{y}\right) = 0 \right)$ ✓
- $\mathbf{HLog}^2 = \left(\mathbf{R}(x) - \mathbf{R}(y) - \mathbf{R}\left(\frac{x}{y}\right) - \mathbf{R}\left(\frac{1-y}{1-x}\right) + \mathbf{R}\left(\frac{x(1-y)}{y(1-x)}\right) = 0 \right)$ ✓
- $\mathbf{HLog}^3 = \left(\sum_{i=1}^{10} AI_i^3(U_i(x, y)) = 0 \right)$?
- Construction Construire \mathbf{HLog}^3 à la Gelfand-MacPherson (§5)
- Interprétation En terme du SC de \mathbf{dP}_4 ?
- Versions Univ. $\mathbf{HLog}_{\text{univ}}^3$? Quantique \mathbf{HLog}_q^3 ? Motivique $\mathbf{HLog}_{\text{mot}}^3$?
- Dimension $\geq \mathbf{dP}_5 = \mathbf{BI}_{4\,pts}(\mathbf{P}^2) \rightsquigarrow \begin{array}{l} (n+3)\text{-tissu en courbes} \\ \text{rat}^{\text{elles}} \text{ sur } \mathbf{BI}_{n+2\,pts}(\mathbf{P}^n) \end{array}$ ✓
- $\mathbf{dP}_4 = \mathbf{BI}_{5\,pts}(\mathbf{P}^2) \rightsquigarrow \begin{array}{l} (2(n+3))\text{-tissu en courbes} \\ \text{rat}^{\text{elles}} \text{ sur } \mathbf{BI}_{n+3\,pts}(\mathbf{P}^n) \end{array}$?